

**ФИЗИКО-ХИМИЧЕСКИЕ И АНТИГЕННЫЕ СВОЙСТВА
ИЗВЛЕКАЕМЫХ МОЧЕВИНОЙ ПОВЕРХНОСТНЫХ СТРУКТУР
YERSINIA PSEUDOTUBERCULOSIS O:1B**

Крюкова А.В.

Марков Е.Ю.

Николаев В.Б.

Попова Ю.О.

Климов В.Т.

Игумнова С.В.

Андреевская Н.М.

Уланская А.В.

Загоскина Т.Ю.

Чеснокова М.В.

ФКУЗ Иркутский научно-исследовательский противочумный институт
Роспотребнадзора, Иркутск, Россия

**PHYSICOCHEMICAL AND ANTIGENIC PROPERTIES OF THE UREA-
EXTRACTED SURFACE STRUCTURES OF *YERSINIA*
PSEUDOTUBERCULOSIS O:1B**

Kryukova A.V.

Markov E.Yu.

Nikolaev V.B.

Popova Yu.O.

Klimov V.T.

Igumnova S.V.

Andreevskaya N.M

Ulanskaya A.V.

Russian Journal of Infection and Immunity

ISSN 2220-7619 (Print)

ISSN 2313-7398 (Online)

АНТИГЕНЫ *Y. PSEUDOTUBERCULOSIS*

Y. PSEUDOTUBERCULOSIS ANTIGENS

Zagoskina T.Yu.

10.15789/2220-7619-PAA-1602

Chesnokova M.V.

F. G. H. I. Irkutsk Anti plague Research Institute of Rospotrebnadzor, Irkutsk, Russia

Резюме. К важным методам диагностики псевдотуберкулеза относятся иммуносерологические исследования, в частности, направленные на выявление антигенов возбудителя. Практический интерес представляют основные иммунодоминантные и видоспецифические антигены, расположенные в поверхностных структурах бактериальной клетки. В связи с этим целью работы явилось выделение и характеристика биологически активных поверхностных структур псевдотуберкулезного микроба. В работе проведен лизис живых клеток *Y. pseudotuberculosis* 3704 (O:1b) путем обработки их 9 М раствором мочевины с целью извлечения антигенов, локализованных в поверхностных структурах микроба. Полученные субклеточные фракции – наружные мембраны (НМ), мочевиновый экстракт (МЭ) и изолированный из него белково-липополисахаридный комплекс (БЛПК) охарактеризованы по физико-химическим параметрам. Содержание белка в препаратах составило от 42 % до 53 %. Полипептидный спектр препарата НМ псевдотуберкулезного микроба представлен 14 мажорными полипептидами с молекулярными массами от 13,9 kDa до 131,5 kDa, спектр МЭ – 16 полипептидами с молекулярными массами от 13,5 kDa до 101,6 kDa, спектр препарата БЛПК – 9 полипептидами с молекулярными массами от 20,7 kDa до 66,6 kDa. В изолированных субклеточных фракциях (НМ и МЭ) с помощью теста радиальной энзимодиффузии и субстратного электрофореза выявлены протеолитически активные белки и полипептиды. В препарате НМ таковыми явились 4 полипептида с молекулярными массами от 28,0 kDa до 118,0 kDa, в препарате МЭ – 7 полипептидов с молекулярными массами от 29,2 kDa до 97,7 kDa. Полученные субклеточные фракции способны проявлять иммуногенную активность при введении экспериментальным животным и антигенную активность при взаимодействии со специфическими антителами в реакции иммунодиффузии в геле (РИД) и антителами, мечеными наночастицами коллоидного серебра в дот-иммуноанализе (ДИА). Препараты НМ и БЛПК в

ДИА с иммуноглобулинами, выделенными из экспериментальных антисывороток и меченные наночастицами коллоидного серебра обнаруживались в концентрации $\geq 0,12$ мкг/мл (по сухому весу), клетки штамма *Y. pseudotuberculosis* 3704 – в концентрации $\geq 3,9 \times 10^6$ м.к./мл, что аналогично результатам ДИА с иммуноглобулинами, выделенными из коммерческой псевдотуберкулезной антисыворотки (С.-Петербург) и мечеными наночастицами коллоидного серебра. Таким образом, изолированные при использовании мочевины в качестве лизирующего и обеззараживающего агента субклеточные фракции псевдотуберкулезного микроба, сохраняют свои антигенные и иммуногенные свойства, ферментативную активность, что указывает на перспективность их использования для совершенствования ранней диагностики псевдотуберкулеза.

Ключевые слова: *Yersinia pseudotuberculosis*, диагностика, антигены, антитела, гипериммунизация, мочевина, псевдотуберкулез

Abstract. Immuno-serological diagnostic tools particularly identifying pathogen antigens are the most important methods of pseudotuberculosis studies . The main immunodominant and species-specific antigens located in the surface structures of the bacterial cell are of practical interest. Thereby the aim of the work was to isolate and characterize biologically active surface structures of the pseudotuberculosis microbe. Here, the living cells of *Y. pseudotuberculosis* 3704 (O:1b) were lysed by using 9 M urea solution to extract antigens localized in the microbial surface structures. The subcellular fractions obtained such as outer membranes (OM), urea extract (UE) and isolated protein-lipopolysaccharide complex (PLPSC) are characterized by physical and chemical parameters. The protein content in the preparations ranged from 42% to 53%. The polypeptide band of the OM preparation, UE polypeptide and PLPSC for pseudotuberculosis microbe was presented by 14, 16 and 9 major polypeptides with molecular weight ranging from

13,9 kDa to 131,5 kDa, 13,5 kDa to 101,6 kDa, and 20,7 kDa to 66,6 kDa, respectively. Proteolytically active proteins and polypeptides were detected in isolated subcellular fractions (OM and UE) by using the radial enzyme diffusion test and substrate-gel electrophoresis found to be presented by 4 and 7 polypeptides with molecular weight ranging from 28,0 kDa to 118,0 kDa and 29,2 kDa to 97,7 kDa in the OM and UE preparation, respectively. The subcellular fractions obtained are capable to exhibit immunogenic activity after inoculation to experimental animals and antigenic activity while interacting with specific antibodies in the radial immunodiffusion (RID) assay and antibodies labeled with colloidal silver nanoparticles in dot immunoassay (DIA). OM and PLPSC preparations in DIA with immunoglobulins isolated from experimental antisera and labeled with colloidal silver nanoparticles were detected at a concentration of $\geq 0.12 \mu\text{g} / \text{ml}$ (dry weight), cells of strain *Y. pseudotuberculosis* 3704 at a concentration of $\geq 3,9 \times 10^6$ m.c. / ml, which is similar to the results of DIA with immunoglobulins isolated from commercial pseudotuberculosis antiserum (St. Petersburg) and labeled with nanoparticles of colloidal silver. Thus, the subcellular fractions of pseudotuberculosis microbe isolated by using urea as a lysing and decontaminating agent retain their antigenic and immunogenic properties and enzymatic activity suggesting about their potential benefits for use to improve early diagnostics of pseudotuberculosis.

Key words: *Yersinia pseudotuberculosis*, diagnostics, antigens, antibodies, hyperimmunization, urea, pseudotuberculosis

1 **Введение**

2 *Y. pseudotuberculosis* – энтеропатоген, имеет глобальное распространение
3 на всех континентах (кроме Антарктиды) и является причиной
4 псевдотуберкулезной инфекции с фекально-оральным механизмом передачи,
5 ведущее значение при которой отводится пищевым продуктам. Популяция
6 возбудителя гетерогенна по O-антигену, в настоящее время известен 21
7 серологический вариант (O:1a, O:1b, O:1c, O:2a, O:2b, O:2c, O:3, O:4a, O:4b,
8 O:5a, O:5b, O:6, O:7, O:8, O:9, O:10, O:11, O:12, O:13, O:14, O:15), однако
9 наибольшее значение в патологии человека имеет серовариант *Y.*
10 *pseudotuberculosis* O:1b. В Сибири и на Дальнем Востоке он доминирует в 90,7
11 % случаях [2].

12 Псевдотуберкулез характеризуется внезапным проявлением,
13 полиморфизмом клинических форм и, как следствие, трудностью достоверной
14 ранней диагностики [9], что обуславливает необходимость совершенствования
15 клинической и лабораторной диагностики заболевания [7]. Наиболее
16 перспективными для ранней диагностики псевдотуберкулеза являются методы,
17 направленные на выявление специфических антигенов, оптимизация которых
18 остается актуальной до настоящего времени. Поскольку основные
19 иммунодоминантные, включая видоспецифические, антигены локализованы в
20 поверхностных структурах микробной клетки [10], выделение и использование
21 их для конструирования иммунобиологических препаратов может представлять
22 практический интерес, в том числе, в изучении роли субклеточных фракций и
23 их отдельных компонентов в иммуно- и патогенезе псевдотуберкулеза. Кроме
24 того, учитывая эффективность вакцинации против чумы аттенуированным
25 штаммом *Y. pseudotuberculosis* [13], поверхностные структуры и антигены
26 менее патогенного, но родственного чумному псевдотуберкулезного микроба
27 могут быть использованы для конструирования химических противочумных
28 вакцин.

29 Актуальным остается и поиск альтернативных методов обеззараживания
30 микробной массы и разрушения бактериальных клеток для получения
31 стерильных субклеточных фракций, сохраняющих антигенную активность и
32 отвечающих требованиям биологической безопасности, поскольку
33 традиционные методы обеззараживания возбудителей особо опасных инфекций
34 (кипячение, воздействие ацетоном, формалином, фенолом, этанолом,
35 метанолом) могут приводить к необратимым изменениям их нативных свойств.
36 Перспективной может оказаться обработка живых клеток концентрированным
37 раствором мочевины, обладающей бактерицидным действием. Так, ранее нами
38 был получен специфически стерильный высокоиммуногенный препарат
39 наружных мембран холерного вибриона Эль Тор за счет одномоментного
40 лизиса и обеззараживания раствором мочевины живых микробных клеток
41 возбудителя холеры [3, 4, 10].

42 Цель работы – выделение и характеристика биологически активных
43 поверхностных структур псевдотуберкулезного микроба с использованием
44 бактерицидного действия мочевины, позволяющего одновременно
45 обеззараживать и лизировать бактериальные клетки возбудителя.

46 **Материалы и методы**

47 Вся работа проводилась в соответствии с санитарно-
48 эпидемиологическими правилами СП 1.3.2322-08 «Безопасность работы с
49 микроорганизмами III-IV групп патогенности (опасности) и возбудителями
50 паразитарных болезней» [8]. Штамм *Y. pseudotuberculosis* 3704 (O:1b) (музей
51 живых культур ФКУЗ НИПЧИ Сибири и ДВ, Иркутск, Россия) выращивали при
52 28 °С в течение 48 ч на агаре Хоттингера (рН 7,2), смывали забуференным (рН
53 7,2) физиологическим раствором (ЗФР) и получали взвесь концентрацией 40
54 млрд. микробных клеток в 1,0 мл. В микробную взвесь добавляли при
55 постоянном перемешивании 9,0 М раствор мочевины до конечной
56 концентрации 4,5 М и оставляли при температуре 20–25 °С. Через сутки
57 ставили бактериологический контроль стерильности лизата, который до

58 окончания проведения процедуры хранили в холодильнике при температуре 4
59 °С. Дальнейшую работу проводили после отрицательного бактериологического
60 контроля специфической стерильности. Полученный лизат подвергали
61 последовательному центрифугированию при 10000 g в течение 30 минут при
62 4 °С для удаления не разрушенных микробных клеток и при 40000 g в течение
63 60 минут при 4 °С для осаждения фракции НМ и получения препарата МЭ.
64 Полученный осадок промывали 4,5 М раствором мочевины скоростным
65 центрифугированием (как указано выше). Далее осадок отмывали
66 дистиллированной водой с последующим осаждением скоростным
67 центрифугированием. Конечный осадок ресуспендировали в минимальном
68 объеме дистиллированной воды и лиофильно высушивали. Оставшийся после
69 центрифугирования лизата клеток супернатант – препарат МЭ – диализовали в
70 течение трех суток против проточной и дистиллированной воды, освобождали
71 от нерастворимых веществ центрифугированием и лиофильно высушивали.

72 Выделение и очистку БЛПК из препарата МЭ проводили методом
73 двухфазного разделения с использованием детергента Тритона X-114 (Serva,
74 Германия) и отбором водной и детергентной фаз [5].

75 Содержание белка определяли по методу О. Н. Lowry с соавт. [18] с
76 применением бычьего сывороточного альбумина (Sigma-Aldrich, США) в
77 качестве стандарта.

78 Липополисахарид (ЛПС) из клеток псевдотуберкулезного микроба
79 изолировали водно-фенольной экстракцией по методу О. Westphal с соавт. [21]
80 с получением водной и фенольной фракций ЛПС. Наличие ЛПС в препаратах
81 определяли колориметрическим методом с использованием карбоцианинового
82 красителя «Stains all» (ICN Biomedicals Inc, США) [16] в нашей модификации
83 [6].

84 Электрофоретический анализ проводили в блоках полиакриламидного
85 геля в присутствии додецилсульфата натрия по методу U. K. Laemmli и M.
86 Favre [17] с последующей окраской на белки Кумасси ярко-синим R-250 (Bio-

87 Rad, США) [14] и на углеводы ионами серебра (Химреактивснаб, Россия) [20].
88 В качестве маркера молекулярных масс использовали смеси белков (Thermo
89 scientific, США) с диапазоном молекулярных масс от 14,4 kDa до 116,0 kDa и от
90 20 kDa до 120 kDa. Молекулярную массу полипептидов в препаратах оценивали
91 с помощью гель-документирующей системы GelDoc™XR+ (Bio-Rad, США),
92 программой ImageLab™.

93 Протеазную активность определяли в тесте радиальной энзимодиффузии
94 (РЭД) в 1 % агарозе (Helicon, Россия) и в субстратном диск-электрофорезе [15]
95 с использованием в качестве субстрата желатина (Serva, Германия) в
96 концентрации 0,1 %.

97 Животными-продуцентами экспериментальной антисыворотки являлись
98 кролики породы «шиншилла» (лаборатория подопытных животных ФКУЗ
99 НИПЧИ Сибири и ДВ, Иркутск, Россия) весом 2,5-3,0 кг обоего пола, не
100 имеющих клинических отклонений от нормы. Иммуногеном служили
101 препараты НМ и БЛПК. Используемый препарат НМ подвергался
102 предварительной трипсинизации для удаления примеси растворимых белков.
103 Навеску НМ суспендировали в 0,025 М Трис-НСl буфере рН 7,2 в присутствии
104 0,5 мг/мл трипсина (Serva, Германия), инкубировали при 30 °С в течение 30
105 минут с последующим центрифугированием при 40000 g, отмыванием в
106 дистиллированной воде (1:50), повторным центрифугированием. Полученный
107 осадок лиофилизировали.

108 При иммунизации животных применялось две схемы. Кроликов-
109 продуцентов разделили на четыре группы. Животным первой и третьей групп
110 перед иммунизацией препаратом НМ и препаратом БЛПК, соответственно,
111 вводили полный адъювант Фрейнда (ПАФ) по 0,5 мл в подушечки задних лап.
112 Через 5-7 дней кроликам проводили инъекцию НМ по 1,0 мг сухого вещества
113 (по белку 0,55 мг) и БЛПК по 1,0 мг сухого вещества (по белку 0,45 мг) в
114 каждый подколенный лимфатический узел в 0,4 мл ЗФР с 1,2 мл ПАФ. Через 3–
115 5 дней иммунизировали в передние лапы в той же дозе, но без добавления

116 ПАФ. Через 15 дней осуществляли второй цикл иммунизации, который
117 предусматривал трехкратное внутривенное введение комплекса антиген-
118 антитело (АГ-АТ). С этой целью у животных обеих групп забирали кровь для
119 получения 3,0 мл сыворотки: по 1,0 мл разливали в стерильные пробирки и
120 растворяли в каждой по 1,0 мг сухого антигенного препарата. Полученный
121 комплекс АГ-АТ вводили внутривенно каждому кролику, от которого была
122 получена сыворотка, с интервалом между инъекциями в 5 дней. Одновременно
123 каждому животному делали внутримышечно инъекцию антигена в
124 вышеуказанных дозах в объеме 0,5 мл ЗФР. Животным второй и четвертой
125 групп инъекции препаратов НМ и БЛПК осуществляли подкожно двукратно в
126 дозе из расчета по 1,0 мг иммуногена в 1,0 мл ЗФР с 1,0 мл ПАФ в четыре
127 точки спины вдоль позвоночника с интервалом 3 дня. Через 7 дней после
128 последнего введения антигенов у всех животных проводили забор крови,
129 определяли активность и специфичность сыворотки с помощью
130 иммуносерологических методов, используя в качестве антигенов выделенные
131 препараты НМ, БЛПК, штамм *Y. pseudotuberculosis* 3704 и тест-штаммы
132 гетерологичных микроорганизмов (*Y. enterocolitica* 628, *Salmonella enterica*
133 *typhi* 21, *Shigella flexneri* 1964) (музей живых культур ФКУЗ НИПЧИ Сибири и
134 ДВ, Иркутск, Россия).

135 Наличие антигенов в препаратах определяли в РИД в 1 % агарозном геле
136 с последующей окраской белков Кумасси ярко-синим [11] и в ДИА, используя
137 специфические антитела экспериментальных кроличьих антисывороток,
138 меченные наночастицами коллоидного серебра [1], а также аналогичный
139 конъюгат на основе антител из коммерческой диагностической антисыворотки
140 для постановки РНГА производства ФГУП СПб НИИВС, Россия (в качестве
141 контроля). Выделение антител (IgG) из антисывороток осуществляли
142 комбинированным методом с использованием каприловой кислоты и сульфата
143 аммония [19]. ДИА ставили традиционным способом, предполагающим
144 адсорбцию исследуемого препарата на нитроцеллюлозной мембране с

145 величиной пор 0,3 мкм (Synpro, Чехия) с последующей его детекцией
146 антителами, меченными коллоидным серебром [1].

147 **Результаты и обсуждения**

148 *Физико-химические свойства полученных субклеточных фракций*

149 Из бактериальной массы клеток *Y. pseudotuberculosis* 3704 в результате
150 обработки их 9 М раствором мочевины получены субклеточные фракции (НМ и
151 МЭ) псевдотуберкулезного микроба. Путем обработки МЭ детергентом Тритон
152 Х-114 (Serva, Германия) получен препарат БЛПК.

153 Содержание белка в препаратах НМ, МЭ и БЛПК составило в среднем
154 53 %, 50 % и 42 %, соответственно.

155 При проведении электрофоретического анализа в препаратах НМ и МЭ
156 псевдотуберкулезного микроба определен полипептидный состав (рис. 1).

157 В полипептидном спектре препарата НМ установлено наличие 14
158 мажорных полипептидов с молекулярными массами от 13,9 kDa до 131,5 kDa. В
159 препарате МЭ выявлено 16 мажорных полипептидов с молекулярными массами
160 от 13,5 kDa до 101,6 kDa. Полипептиды с массами 24,4, 29,7, 39,8, 43,3 kDa
161 оказались представленными в обоих препаратах, вероятно, в результате того,
162 что при воздействии хаотропного агента на клеточную стенку происходит
163 частичный выход мембранных компонентов в мочевиновый экстракт, в том
164 числе белков и ЛПС.

165 При окраске на углеводы ионами серебра препарата БЛПК
166 *Y. pseudotuberculosis* 3704 выявлено 9 полос с молекулярными массами от
167 20,7 kDa до 66,6 kDa (рис. 2). Кроме того, обнаружен быстро мигрирующий
168 компонент с молекулярной массой ниже 20 kDa.

169 *Метахроматическая активность*

170 Выявлено, что при горячей водно-фенольной экстракции клеток
171 псевдотуберкулезного микроба липополисахаридный антиген распределяется
172 как в водную, так и в фенольную фазы, а также обнаруживается в препаратах
173 НМ, МЭ и БЛПК, что подтверждается метахроматическим эффектом: при

174 взаимодействию исследуемых фракций с карбоцианиновым красителем «Stains
175 all» происходит сдвиг максимума поглощения красителя в коротковолновую
176 область в препарате НМ (λ_{\max} 574 нм \rightarrow λ_{\max} 472 нм), МЭ, фенольной фракции
177 ЛПС (λ_{\max} 574 нм \rightarrow λ_{\max} 466 нм) и водной фракции ЛПС и БЛПК (λ_{\max} 574 нм
178 \rightarrow λ_{\max} 467 нм), что характерно для ЛПС грамотрицательных бактерий.

179 *Ферментативная активность*

180 При обработке возбудителя псевдотуберкулеза раствором мочевины в
181 препаратах субклеточных фракций определяется протеолитическая активность
182 (рис. 3), что свидетельствует о минимальном денатурирующем воздействии
183 мочевины на нативные свойства получаемых фракций микробной клетки.

184 Препарат МЭ в РЭД тесте уступает по активности препарату НМ
185 благодаря активности мембраносвязанных протеаз последних, обладающих
186 повышенной стабильностью за счет своего микроокружения, по сравнению с
187 растворимыми формами протеаз в МЭ (рис. 3; 5–8).

188 Субстратным электрофорезом в препаратах НМ и МЭ выявлены
189 протеолитически активные полипептиды и обнаружено их различие в спектре
190 субклеточных фракций (рис. 4).

191 В препарате НМ протеазной активностью обладают полипептиды с
192 молекулярными массами 28,0, 48,4, 61,5 kDa и в области 72,5–118,0 kDa, тогда
193 как в препарате МЭ данной активностью обладают полипептиды с
194 молекулярными массами 29,2, 36,0, 74,7, 79,0, 82,8, 89,4, 97,7 kDa.

195 *Иммуногенная и антигенная активности*

196 Анализ исследуемых препаратов в РИД выявил в регистрируемых
197 количествах только один компонент, идентифицированный как ЛПС,
198 играющий основную роль в индукции специфического гуморального
199 иммунитета у макроорганизмов. При взаимодействии с цельной коммерческой
200 поливалентной антисывороткой в РИД наблюдается полное слияние
201 преципитата между препаратами ЛПС водно-фенольной экстракции и
202 препаратами НМ и МЭ, что указывает на их антигенную идентичность (рис. 5).

203 Сыворотки, полученные путем иммунизации животных-продуцентов
204 препаратами НМ и БЛПК, по специфической активности не отличались между
205 собой.

206 Полученные экспериментальные антисыворотки в разведении 1:10 в РИД
207 не реагировали с гетерологичными тест-штаммами (1×10^9 м.к./мл) и проявляли
208 серологическую активность только в отношении гомологичного штамма
209 *Y. pseudotuberculosis* 3704 (рис. 6), а также с изолированными из него
210 препаратами НМ и БЛПК (1 мг/мл).

211 Препараты НМ и БЛПК в ДИА при использовании антител,
212 изолированных из полученных экспериментальных антисывороток, меченных
213 наночастицами коллоидного серебра, обнаруживались в концентрации $\geq 0,12$
214 мкг/мл (по сухому весу) в объеме исследуемого образца, наносимого на
215 мембрану – 1,5 мкл, штамм *Y. pseudotuberculosis* 3704 – в концентрации $\geq 3,9$
216 $\times 10^6$ м.к./мл (рис.7) в объеме исследуемого образца, наносимого на мембрану –
217 1,5 мкл.

218 Аналогичные результаты зарегистрированы при исследовании указанных
219 антигенных комплексов в ДИА с антителами из коммерческой диагностической
220 антисыворотки, мечеными наночастицами коллоидного серебра. Тест-штаммы
221 гетерологичных микроорганизмов в ДИА перекрестно реагировали в высоких
222 концентрациях с антителами экспериментальных антисывороток
223 ($\geq 7,8 \times 10^6$ м.к./мл.).

224 В ДИА с антителами из коммерческой антисыворотки гетерологичные
225 тест-штаммы не выявлялись ввиду того, что в технологическую схему ее
226 получения входит этап адсорбции антител антигенами близкородственных в
227 антигенном отношении микроорганизмов, что минимизирует неспецифическое
228 взаимодействие антигенов с антителами.

229 **Заключение**

230 Как известно, антигенную специфичность псевдотуберкулезного микроба
231 определяет соматический О-антиген, который содержится в поверхностных

РИСУНКИ

Рисунок 1. Электрофоретическое разделение в 12 % полиакриламидном геле препаратов, полученных мочевиной экстракцией из *Y. pseudotuberculosis* 3704. Окраска Кумасси ярко-синим R-250.

1 – маркер молекулярных масс, 2 – препарат наружных мембран, 3 – препарат мочевинового экстракта

Figure 1. Electrophoretic separation of preparations obtained by urea extraction from *Y. pseudotuberculosis* 3704 in 12 % polyacrylamide gel. Stained with Coomassie brilliant blue R-250.

1 – molecular weight marker, 2 – outer membrane preparation, 3 – urea extract preparation

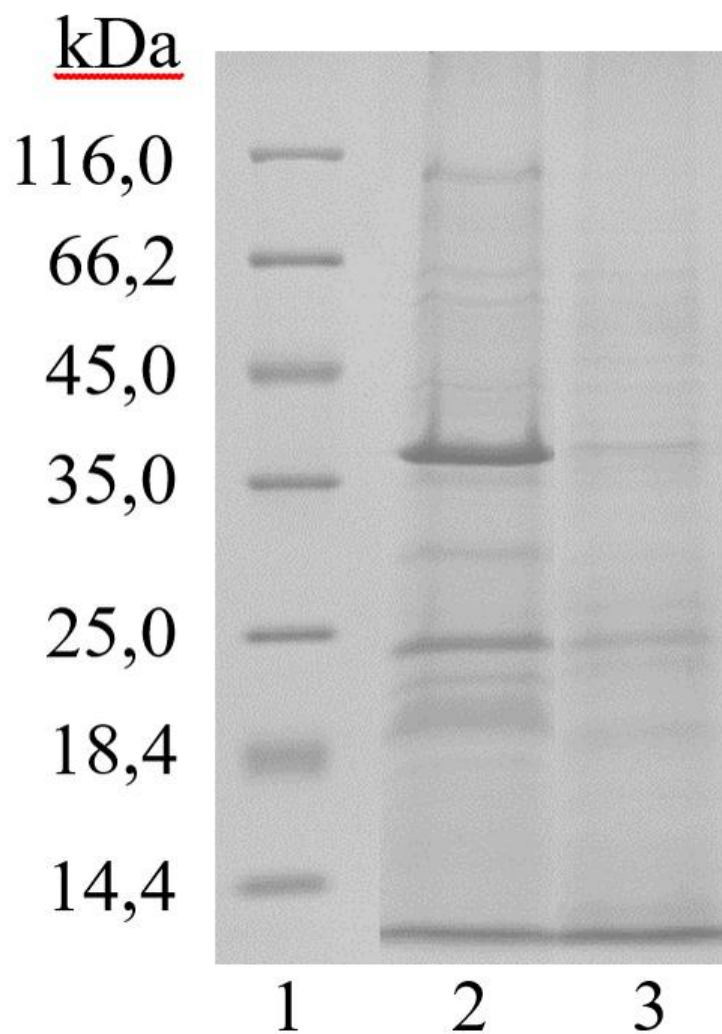


Рисунок 2. Электрофоретическое разделение в 12 % полиакриламидном геле препарата белково-липополисахаридного комплекса, полученного из мочевинового экстракта *Y. pseudotuberculosis* 3704. Окраска ионами серебра.

1 – маркер молекулярных масс, 2 – препарат белково-липополисахаридного комплекса

Figure 2. Electrophoretic separation of a protein-lipopolysaccharide complex preparation obtained from urea extract *Y. pseudotuberculosis* 3704 in 12% polyacrylamide gel. Stained with silver ions.

1 – molecular weight marker, 2 – protein-lipopolysaccharide complex preparation

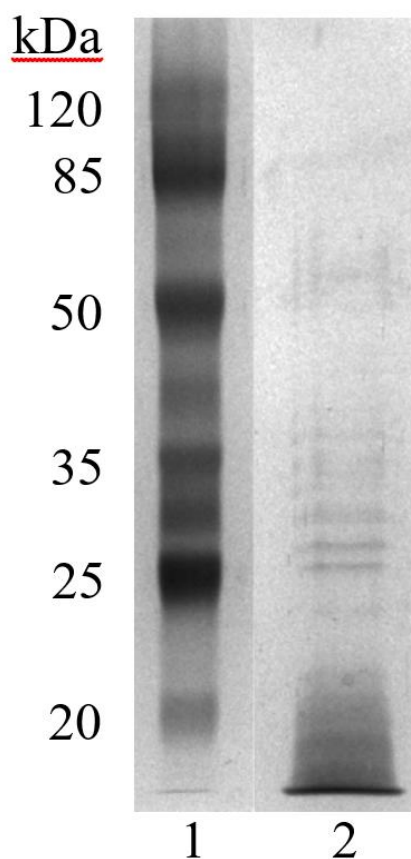


Рисунок 3. Тест радиальной энзимодиффузии полученных препаратов из *Y. pseudotuberculosis* 3704 в 1% агарозном геле с использованием в качестве субстрата желатина

1, 2, 3, 4 – препарат наружных мембран в концентрации 8 мг/мл, 6 мг/мл, 4 мг/мл, 2 мг/мл, соответственно; 5, 6, 7, 8 – препарат мочевинового экстракта в концентрации 2 мг/мл, 4 мг/мл, 6 мг/мл, 8 мг/мл, соответственно.

(к⁺) – положительный контроль (трипсин), (к⁻) – отрицательный контроль (контроль растворителя)

Figure 3. Radial enzyme diffusion test of preparations obtained from *Y. pseudotuberculosis* 3704 in 1% agarose gel using gelatin as a substrate

1, 2, 3, 4 – outer membrane preparation at concentration of 8 mg/ml, 6 mg/ml, 4 mg/ml, 2 mg / ml, respectively; 5, 6, 7, 8 – preparation of urea extract at concentration of 2 mg/ml, 4 mg/ml, 6 mg/ml, 8 mg/ml, respectively.

(k +) – positive control (trypsin solution), (k-) – negative control (solvent control)



Рисунок 4 Субстратный электрофорез препаратов субклеточных фракций из *Y. pseudotuberculosis* 3704 в 12 % полиакриламидном геле с использованием в качестве субстрата раствора желатина.

1 – положительный контроль (трипсин), 2 – препарат наружных мембран, 3 – препарат мочевинового экстракта. Слева указано положение маркера молекулярных масс. Окраска Кумасси ярко-синим R-250.

Figure 4. Substrate-gel electrophoresis of subcellular fraction preparations from *Y. pseudotuberculosis* 3704 in 12% polyacrylamide gel using a gelatin solution as a substrate

1 – positive control (trypsin solution), 2 – outer membrane preparation, 3 – preparation of urea extract. The position of the molecular weight marker is indicated on the left. Stained with Coomassie brilliant blue R-250

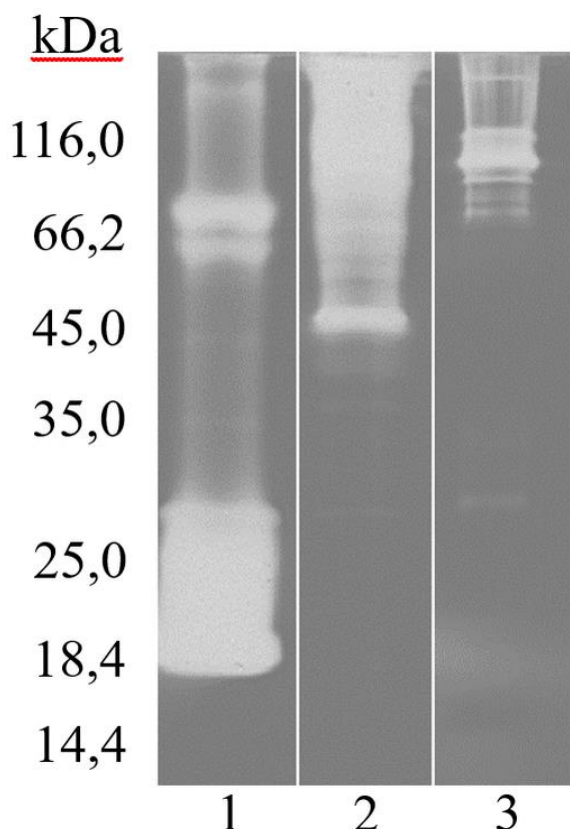


Рисунок 5. Реакция иммунодиффузии антигенных препаратов, полученных из *Y. pseudotuberculosis* 3704 в 1% агарозном геле с коммерческой псевдотуберкулезной антисывороткой

1 – липополисахарид из водной фракции, 2 – препарат мочевиного экстракта, 3 – липополисахарид из фенольной фракции, 4 – препарат наружных мембран, 5 – коммерческая поливалентная псевдотуберкулезная антисыворотка (СПб.). Окраска Кумасси ярко-синим R-250.

Figure 5. Immunodiffusion reaction of antigenic preparations obtained from *Y. pseudotuberculosis* 3704 in 1% agarose gel with commercial pseudotuberculosis antiserum

1 – lipopolysaccharide from the aqueous fraction, 2 – preparation of urea extract, 3 – lipopolysaccharide from the phenolic fraction, 4 – outer membrane preparation, 5 – commercial polyvalent pseudotuberculosis antiserum (St. Petersburg). Stained with Coomassie brilliant blue R-250

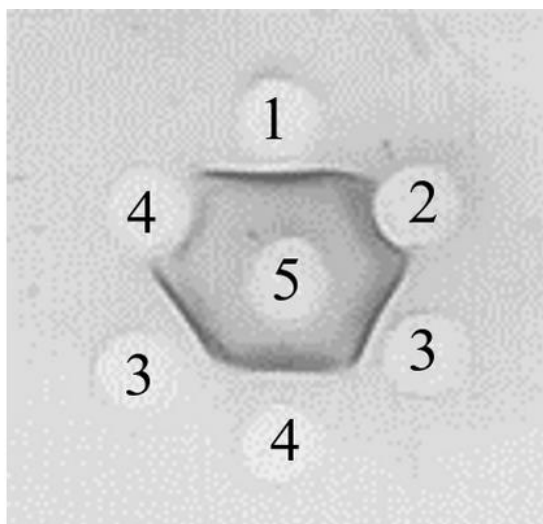


Рисунок 6. Реакция иммунодиффузии антигенных препаратов *Y. pseudotuberculosis* 3704 и микробных взвесей в 1% агарозном геле с экспериментальной кроличьей антисывороткой, полученной против препарата белково-липополисахаридного комплекса

1 – препарат наружных мембран, 2 – препарат белково-липополисахаридного комплекса, 3 – микробная взвесь *Y. pseudotuberculosis* 3704, 4 – микробная взвесь *Y. enterocolitica* 628, 5 – микробная взвесь *S. typhi* 21, 6 – микробная взвесь *S. flexneri* 1964, 7 – экспериментальная псевдотуберкулезная кроличья антисыворотка

Figure 6. Immunodiffusion reaction of antigenic preparations of *Y. pseudotuberculosis* 3704 and microbial suspensions in 1% agarose gel with experimental rabbit antiserum obtained against the preparation of a protein-lipopolysaccharide complex

1 – outer membrane preparation, 2 – protein-lipopolysaccharide complex preparation, 3 – microbial suspension of *Y. pseudotuberculosis* 3704, 4 – microbial suspension of *Y. enterocolitica* 628, 5 – microbial suspension of *S. typhi* 21, 6 – microbial suspension *S. flexneri* 1964, 7 – experimental *Y. pseudotuberculosis* rabbit antiserum

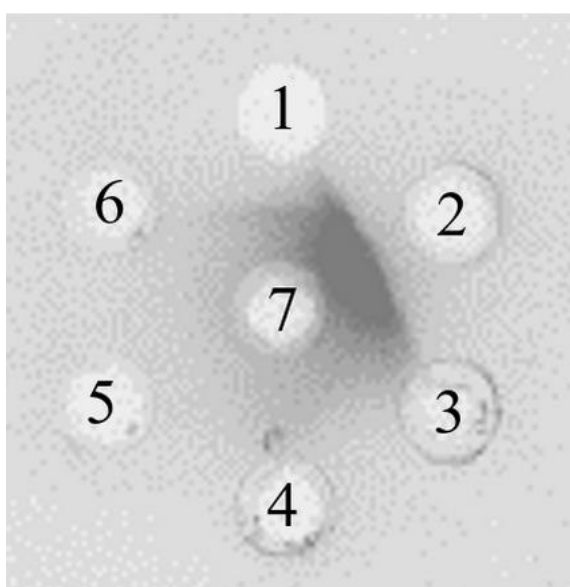
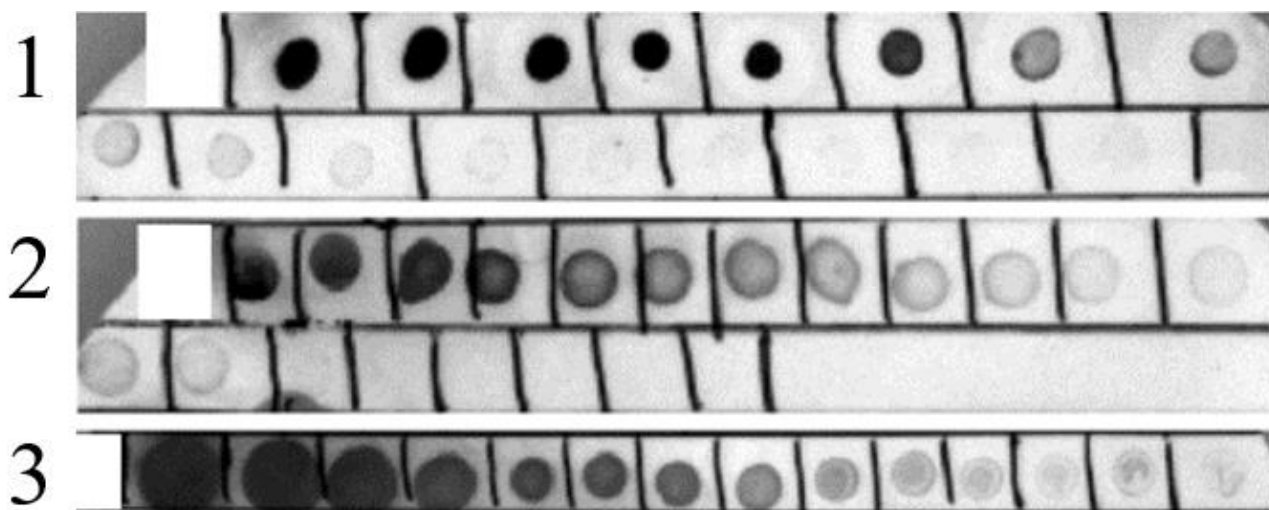


Рисунок 7. Дот-иммуноанализ препаратов и микробной взвеси *Y. pseudotuberculosis* 3704 с изолированными из экспериментальной антисыворотки антителами, полученными против препарата белково-липополисахаридного комплекса и мечеными наночастицами коллоидного серебра

1 – микробная взвесь *Y. pseudotuberculosis* 3704, 2 – препарат наружных мембран, 3 – препарат белково-липополисахаридного комплекса

Figure 7. Dot immunoassay of preparations and microbial suspension of *Y. pseudotuberculosis* 3704 by using antibodies isolated from experimental antiserum against the preparation of protein-lipopolysaccharide complex and labeled with colloidal silver nanoparticles

1 – microbial suspension of *Y. pseudotuberculosis* 3704, 2 – outer membrane preparation, 3 – protein-lipopolysaccharide complex preparation



МЕТАДАННЫЕ

Крюкова Анна Витальевна, м.н.с. биохимического отдела

Kryukova Anna Vitalyevna, Junior Researcher of biochemical Department

Федеральное казенное учреждение здравоохранения Иркутский ордена
трудового Красного знамени научно-исследовательский противочумный
институт Сибири и Дальнего Востока Федеральной службы по надзору в сфере
защиты прав потребителей и благополучия человека

Federal Government Health Institution Irkutsk Antiplague Research Institute of
Siberia and far East awarded with Order of the Red Banner of the Federal Service for
Surveillance in the sphere of consumers' rights protection and human welfare

664007 Иркутск, ул. Трилисера, 78

664007 Irkutsk, Trilsser str, 78

тел.: (3952)220-135, факс: 3952 220-140, e-mail: adm@chumin.irkutsk.ru

phone: (3952)220-135, fax: (3952) 220-140, e-mail: adm@chumin.irkutsk.ru

Соавторы:

Марков Е. Ю. – д.б.н., с.н.с., зав. биохимическим отделом

Николаев В. Б. – к.м.н., с.н.с. биохимического отдела

Попова Ю. О. – лаборант биохимического отдела

Климов В. Т. – к.м.н., с.н.с. эпидемиологического отдела

Игумнова С. В. – врач эпидемиологического отдела

Андреевская Н. М. – к.б.н., с.н.с. лаборатории диагностических
сывороток

Уланская А. В. – вет. врач лаборатории диагностических сывороток

Загоскина Т. Ю. – д.м.н., с.н.с, заведующая отделом подготовки и
усовершенствования специалистов.

Чеснокова М. В. – д.м.н., профессор, заведующая отделом научного и
учебно-методического обеспечения.

Полное название статьи: Физико-химические и антигенные свойства
извлекаемых мочевиной поверхностных структур *Yersinia pseudotuberculosis*
O:1b

Количество страниц текста: 10, количество рисунков: 7, количество
таблиц: 0.

Работа представлена для раздела «Оригинальная статья».

Дата отправления работы: 23.09.2020

ТИТУЛЬНЫЙ ЛИСТ

Физико-химические и антигенные свойства извлекаемых мочевиной поверхностных структур *Yersinia pseudotuberculosis* O:1b

Physicochemical and antigenic properties of the surface structures of *Yersinia pseudotuberculosis* O: 1b extracted by urea

Соавторы:

Марков Е. Ю. – д.б.н., с.н.с., зав. биохимическим отделом.

Николаев В. Б. – к.м.н., с.н.с. биохимического отдела

Попова Ю. О. – лаборант биохимического отдела

Климов В. Т. – к.м.н., с.н.с. эпидемиологического отдела

Игумнова С. В. – врач эпидемиологического отдела

Андреевская Н. М. – к.б.н., с.н.с. лаборатории диагностических сывороток

Уланская А. В. – вет. врач лаборатории диагностических сывороток

Загоскина Т. Ю. – д.м.н., заведующая отделом подготовки и усовершенствования специалистов.

Чеснокова М. В. – д.м.н., профессор, заведующая отделом научного и учебно-методического обеспечения.

Markov E. Yu. – MD, PhD (Biology), Senior Researcher, Head of biochemical department

Nikolaev V. B. – PhD (Medicine), Senior Researcher of biochemical department

Popova Yu. O. – assistant of biochemical Department of biochemical department

Klimov V.T.– PhD (Medicine), Senior Researcher, department of epidemiology

Igumnova S.V. – physician, department of epidemiology

Andreevskaya N.M. – Candidate of Science (Biology), laboratory of diagnostic sera

Ulanskaya A.V. – veterinarian, laboratory of diagnostic sera

Zagoskina T.Yu. – PhD, MD (Medicine), Head of department of professional and advanced training

Chesnokova M.V. – PhD, MD (Medicine), professor, Head of information analytical sector

Федеральное казенное учреждение здравоохранения Иркутский ордена трудового Красного знамени научно-исследовательский противочумный институт Сибири и Дальнего Востока Федеральной службы по надзору в сфере защиты прав потребителей и благополучия человека – Federal Government Health Institution Irkutsk Antiplague Research Institute of Siberia and far East awarded with Order of the Red Banner of the Federal Service for Surveillance in the sphere of consumers' rights protection and human welfare

Сокращенное название статьи для верхнего колонтитула: антигены *Y. pseudotuberculosis* – *Y. pseudotuberculosis* antigens

Ключевые слова: *Yersinia pseudotuberculosis*, диагностика, антигены, антитела, гипериммунизация, мочевины, псевдотуберкулез

Key words: *Yersinia pseudotuberculosis*, diagnostics, antigens, antibodies, hyperimmunization, urea, pseudotuberculosis

Адрес для переписки: г. Иркутск, ул. Трилиссера, 78. Индекс 664007, тел.: (3952)220-135, факс: (3952)220-140, e-mail: adm@chumin.irkutsk.ru

СПИСОК ЛИТЕРАТУРЫ

Порядковый номер и ссылки	Авторы, название публикации и источника, где она опубликована, выходные данные	ФИО, название публикации и источника на английском	Полный интернет-адрес (URL) цитируемой статьи и/или
1	Загоскина Т.Ю., Чеснокова М.В., Климов В.Т., Попова Ю.О., Марков Е.Ю., Старикова О.А. Конструирование тест-системы с наночастицами коллоидного серебра для обнаружения возбудителей псевдотуберкулеза и кишечного иерсиниоза в дот-иммуноанализе // Журнал микробиологии, эпидемиологии и иммунобиологии. 2017. № 1. С. 55–61.	Zagoskina T.Yu., Chesnokova M.V., Klimov V.T., Popova Yu.O., Markov E.Yu., Starikova O.A. Construction of a test-system with nanoparticles of colloid silver for detection of pseudotuberculosis and intestinal yersiniosis for causative agents in dot-immunoassay. <i>Zhurnal mikrobiologii, epidemiologii i immunobiologii</i> = Journal of Microbiology, Epidemiology and Immunobiology, 2017, no 1, pp. 55–61. (in Russ.)	https://microbiol.elpub.ru/jour/article/view/123 [DOI: 10.36233/0372-9311-2017-1-55-61]
2	Каримова Т.В., Климов В.Т., Чеснокова М.В. Молекулярно-биологическая характеристика <i>Yersinia pseudotuberculosis</i> и <i>Yersinia enterocolitica</i> , выделенных в Сибири и на Дальнем Востоке // Акта	Karimova T.V., Klimov V.T., Chesnokova M.V. Biomolecular characteristics of <i>Yersinia pseudotuberculosis</i> and <i>Yersinia enterocolitica</i> isolated in Siberia and in the Far East. <i>Acta Biomedica Scientifica</i> . 2016, vol. 1, no 3 (1), pp. 60–64. (in Russ.)	https://www.actabiomedica.ru/jour/article/view/228 [DOI: 10.12737/21612]

	Biomedica Scientifica. 2016. Т. 1, № 3 (1). С. 60–64.		
3	Марков Е.Ю., Урбанович Л.Я., Голубинский Е.П., Чернов А.Б., Каретникова Э.С., Иванова Т.А., Пакулев Н.А. Наружные мембраны холерного вибриона как потенциальный компонент химической вакцины // Журнал микробиологии, эпидемиологии и иммунологии. 1995. № 2. Приложение. С. 86–89.	Markov E.Yu., Urbanovich L.Ya., Golubinsky E.P., Chernov A.B., Karetnikova E. S., Ivanova T.A., Pakulev N. A. Outer membranes of the <i>Vibrio cholerae</i> as a potential component of a chemical vaccine. <i>Zhurnal mikrobiologii, epidemiologii i immunobiologii = Journal of Microbiology, Epidemiology and Immunobiology</i> , 1995. no 2. <i>Suppl.</i> , pp. 86–89. (In Russ.)	https://pubmed.ncbi.nlm.nih.gov/7771156/
4	Марков Е.Ю., Урбанович Л.Я., Голубинский Е.П., Каретникова Э.С., Иванова Т.А., Николаев В.Б., Завезенов Н.П., Субычева Е.Н. Получение высокоиммуногенного препарата наружных мембран <i>Vibrio cholerae eltor</i> // Журнал инфекционной патологии (Иркутск). 1998. Т. 5, № 4. С. 42–48.	Markov E.Yu., Urbanovich L.Ya., Golubinsky E.P., Karetnikova E. S., Ivanova T.A., Nikolaev V. B., Zavezenov N. P., Subycheva E. N. Obtaining highly immunogenic preparation of the outer membranes of <i>Vibrio cholerae eltor</i> . <i>Zhurnal infektsionnoy patologii = Journal of infectious pathology (Irkutsk)</i> , 1998, vol. 5, no 4, pp. 42–48. (In Russ.)	https://elibrary.ru/item.asp?id=32427583

5	<p>Патент № 2051969 C1 Российская Федерация, МПК⁶ C 12 P 19/04. Способ получения бактериальных липополисахаридов; заявлено 1992.07.31: опубликовано 1996.01. 10 / Марков Е.Ю., Николаев В.Б. / Патентообладатель: Иркут. н-и. противочум. ин-т Сибири и ДВ. 3 с.</p>	<p>Patent No. 2051969 C1 Russian Federation, Int. Cl.⁶ C 12 P 19/04. Method of bacterial lipopolysaccharide preparing; application 1992.07.31: date of publication 10.01.1996 / Markov E.Ju., Nikolaev V.B. Proprietors: Irkutskij nauchno-issledovatel'skij protivochumnyj institut Sibiri i Dal'nego Vostoka. 3 p.</p>	<p>https://yandex.ru/patents/doc/RU2051969C1_19960110</p>
6	<p>Патент № 2114436 C1, Российская Федерация, МПК⁶ G01N 33/52. Способ определения бактериальных липополисахаридов; заявлено 1996.05.06: опубликовано 1998.06.27 / Чернов А.Б., Марков Е.Ю. (РФ) / Патентообладатель: Иркут. н.-и. противочум. ин-т Сибири и ДВ. 5 с.</p>	<p>Patent No. 2051969 C1 Russian Federation, Int. Cl.⁶ G01N 33/52. Method of assay of bacterial lipopolysaccharides; application 1996.05.06: date of publication 1998.06.27 / Chernov A.B., Markov E.Ju. Proprietors: Irkutskij nauchno-issledovatel'skij protivochumnyj institut Sibiri i Dal'nego Vostoka. 5 p.</p>	<p>https://yandex.ru/patents/doc/RU2114436C1_19980627</p>
7	<p>Помогаева А.П., Уразова О.И., Ковширина Ю.В., Перевозчикова Т.В., Бармина С.Э. Клинико-</p>	<p>Pomogayeva A.P., Ourazova O.I., Kovshirina Yu.V., Perevozchikova T.V., Barmina S.E. Clinical and</p>	<p>https://elibrary.ru/item.asp?id=93059 09</p>

	иммунологические особенности псевдотуберкулеза у детей // Бюллетень сибирской медицины. 2006. № 4. С. 103–111.	immunological peculiarities of pseudotuberculosis at children. <i>Byulleten' sibirskoy meditsiny = Bulletin of Siberian Medicine, 2006, no. 4, pp. 103–111. (In Russ.)</i>	
8	Санитарно-эпидемиологические правила СП 1.3.2322-08 «Безопасность работы с микроорганизмами III-IV групп патогенности (опасности) и возбудителями паразитарных болезней» утв. постановлением Главного государственного санитарного врача РФ от 28 января 2008 г. № 4.	Sanitary and epidemiological rules SR 1.3.2322-08 «Safety of work with microorganisms of the III-IV pathogenicity (danger) groups and pathogens of parasitological diseases» approved by the decision of the Chief State Sanitary Doctor of the Russian Federation approved on January 28, 2008. no 4.	http://docs.cntd.ru/document/902091086
9	Тимченко Н.Ф., Попов А.Ф. Псевдотуберкулез – прошлое и настоящее // Инфекционные болезни: новости, мнения, обучение. 2014, № 4 (9). С. 51–56.	Timchenko N.F., Popov A.F. Pseudotuberculosis – past and present. <i>Infektsionnyye bolezni: novosti, mneniya, obucheniye = Infection Diseases: News, Opinions, Training. 2014, no 4 (9), pp. 51–56. (In Russ.)</i>	https://cyberleninka.ru/article/n/pseudotuberkulez-proshloe-i-nastoyashee
10	Корнева А.В., Николаев В.Б.,	Korneva A.V., Nikolaev V.B., Polovinkina V.S., Markov E.Yu.,	https://elibrary.ru/download/elibrary

	<p>Половинкина В.С., Марков Е.Ю., Козлов С.Н., Мазепа А.В., Дубровина В.И., Загоскина Т.Ю., Урбанович Л.Я., Иванова Т.А., Балахонов С.В. Получение, характеристика и вакцинный потенциал поверхностных структур бактериальных возбудителей особо опасных инфекций. // Дальневосточный Журнал Инфекционной Патологии. 2019. № 37. С. 91–92.</p>	<p>Kozlov S.N., Mazepa A.V., Dubrovina V.I., Zagoskina T.Yu., Urbanovich L.Ya., Ivanova T.A., Balakhonov S.V. Purification, characteristics and vaccine potential of the surface structures of bacterial agents of especially dangerous infections. <i>Dal'nevostochnyy Zhurnal Infektsionnoy Patologii = The Far Eastern Journal of Infectious Pathology</i>. 2019, no. 37, pp. 91–92. (In Russ.)</p>	<p>_41420825_36483590.pdf</p>
11	<p>Hornbeck P. Double-immunodiffusion assay for detecting specific antibodies (Ouchterlony). <i>Curr. Protoc. Immunol.</i>, 2017, vol. 116, pp. 2.3.1–2.3.4.</p>	–	<p>https://currentprotocols.onlinelibrary.wiley.com/doi/10.1002/cpim.18 [DOI: 10.1002/cpim.18]</p>
12	<p>Hu Y.F., Zhao D., Yu X.L., Hu Y.L., Li R.C., Ge M., Xu T.Q., Liu X.B., Liao H.Y. Identification of bacterial surface antigens by screening</p>	–	<p>https://www.ncbi.nlm.nih.gov/pmc/articles/PMC5266700/pdf/fmicb-08-00082.pdf [DOI: 10.3389/fmicb.2017.00082]</p>

	peptide phage libraries using whole bacteria cell-purified antisera. <i>Front Microbiol.</i> , 2017, vol. 8, Article 82.		
13	Derbise A., Guillas C., Gerke C., Carniel E., Pizarro-Cerda J., Demeure C.E. Subcutaneous vaccination with a live attenuated <i>Yersinia pseudotuberculosis</i> plague vaccine. <i>Vaccine</i> , 2020, vol. 38, no 8, p. 1888–1892.	–	https://www.ncbi.nlm.nih.gov/pubmed/31964555 [DOI: 10.1016/j.vaccine.2020.01.014]
14	Dong W., Wang F., Zhang J., Zhou Y., Zhang L., Wang T. A simple, time-saving dye staining of proteins in sodium dodecyl sulfate–polyacrylamide gel using Coomassie blue. <i>Protein Gel Detection and Imaging</i> , 2018, pp. 31–35.	–	https://link.springer.com/protocol/10.1007%2F978-1-4939-8745-0_5 [10.1007/978-1-4939-8745-0_5]
15	Tajhya R.B., Patel R.S., Beeton C. Detection of matrix metalloproteinases by zymography.	–	https://www.ncbi.nlm.nih.gov/pubmed/28299740 [DOI: 10.1007/978-1-4939-6863-3_12]

	<i>Methods Mol. Biol.</i> , 2017, vol. 1579. pp. 231–244.		
16	Zubova S.V., Prokhorenko I.R. Use of colorimetric method for evaluation of LPS of different structure. <i>Bull. Exp. Biol. Med.</i> , 2006, vol. 141, no 6, pp. 765–767.	–	https://www.researchgate.net/publication/6443293_Use_of_colorimetric_method_for_evaluation_of_LPS_of_different_structure [DOI: 10.1007/s10517-006-0274-1]
17	Gallagher S.R. One-dimensional SDS gel electrophoresis of proteins. <i>Curr. Protoc. Cell Biol.</i> , 2007, vol. 37, no 1, pp. 6.1.1–6.1.38.	–	https://currentprotocols.onlinelibrary.wiley.com/doi/10.1002/0471143030.cb0601s37 [DOI: 10.1002/0471143030.cb0601s37]
18	Waterborg J.H. The Lowry Method for Protein Quantitation. In: Walker J.M. (ed.) <i>The Protein Protocols Handbook</i> . Springer Protocols Handbooks. Third Edition. Totowa, NJ.: Humana Press, 2009, pp. 7–10.	–	https://link.springer.com/protocol/10.1007/978-1-59745-198-7_2 [DOI: 10.1007/978-1-59745-198-7_2]
19	Fishman J.B., Berg E.A. Antibody purification and storage. <i>Cold Spring Harbor Protocols</i> , 2019, vol.	–	http://cshprotocols.cshlp.org/content/2019/5/pdb.top099101.full.pdf+html [DOI: 10.1101/pdb.top099101]

	2019, no 5, pp. 331–344.		
20	Li H., Benghezal M. Crude preparation of lipopolysaccharide from <i>Helicobacter pylori</i> for silver staining and Western blot. <i>Bio Protoc.</i> , 2017, vol. 7, no 20, Article e2585.	–	https://www.ncbi.nlm.nih.gov/pmc/articles/PMC8438427/pdf/BioProtoc-7-20-2585.pdf [DOI: 10.1094/MPMI-08-13-0248-R]
21	Wang X., Zhang C., Shi F., Hu X. Purification and characterization of lipopolysaccharides. <i>Subcell. Biochem.</i> , 2010, vol. 53, pp. 27–51.	–	https://link.springer.com/chapter/10.1007%2F978-90-481-9078-2_2 [DOI: 10.1007/978-90-481-9078-2_2]